

Dinámica de sistemas acoplados

Pablo Chehade

pablo.chehade@ib.edu.ar

Redes Neuronales, Instituto Balseiro, CNEA-UNCuyo, Bariloche, Argentina, 2023

I. EJERCICIO 1

Se analizó la interacción entre dos neuronas Hodgkin-Huxley idénticas conectadas simétricamente con interacciones sinápticas excitatorias. La dinámica de cada neurona se describe mediante el sistema de ecuaciones diferenciales:

$$\begin{cases} C \frac{dV}{dt} = I_{ext} + I_{syn,pre} - g_{Na} m^3 h (V - V_{Na}) \\ \quad - g_K n^4 (V - V_K) - g_l (V - V_l) \\ \frac{dm}{dt} = (m_\infty(V) - m) / \tau_m(V) \\ \frac{dh}{dt} = (h_\infty(V) - h) / \tau_h(V) \\ \frac{dn}{dt} = (n_\infty(V) - n) / \tau_n(V) \\ \frac{ds}{dt} = (s_\infty(V_{pre}) - s) / \tau_s, \end{cases} \quad (1)$$

donde $x_\infty(V) = a_x / (a_x + b_x)$ y $\tau_x(V) = 1 / (a_x + b_x)$ para $x = m, h, n$. Las funciones a_x y b_x se definen como:

$$\begin{cases} a_m = 0,1(V + 40) / (1 - e^{-(V+40)/10}) \\ \quad b_m = 4e^{-(V+65)/18} \\ a_h = 0,07e^{-(V+65)/20} \\ \quad b_h = 1 / (1 + e^{-(V+35)/10}) \\ a_n = 0,01(V + 55) / (1 - e^{-(V+55)/10}) \\ \quad b_n = 0,125e^{-(V+65)/80}. \end{cases}$$

Además, $s_\infty = 0,5(1 + \tanh(V/5))$ y $\tau_s = 3$ ms.

Los valores de potenciales de inversión y conductancias máximas son: $V_{Na} = 50$ mV, $V_K = -77$ mV, $V_l = -54,4$ mV, $g_{Na} = 120$ mS/cm², $g_K = 36$ mS/cm², $g_l = 0,3$ mS/cm². La capacitancia de membrana es $C = 1$ μ F/cm² y la corriente externa, $I_{ext} = 10$ mA. La corriente de interacción sináptica $I_{syn,pre}$ se define como:

$$I_{syn,pre}(t) = -g_{syn}s(t)(V - V_{syn}).$$

Esta corriente representa la influencia de la segunda neurona, denominada en este contexto como "neurona pre-sináptica". La interacción puede ser excitatoria o inhibitoria dependiendo del valor de la constante V_{syn} . La amplitud de la interacción está determinada por el factor g_{syn} .

Como se mencionó anteriormente, las ecuaciones (1) describen una única neurona, con lo cual el sistema completo consta de 10 ecuaciones diferenciales acopladas.

Se resolvió numéricamente el sistema de ecuaciones diferenciales acopladas empleando el método numérico Runge-Kutta 45 con una tolerancia relativa de 1×10^{-3} y una tolerancia absoluta de 1×10^{-6} . Se examinaron dos valores para V_{syn} : 0 mV correspondiente a una interacción excitatoria y -80 mV correspondiente a una inhibitoria. En cuanto a las condiciones iniciales, se estableció

un potencial de 0 mV para la primera neurona y -50 mV para la segunda. Las variables restantes se establecieron según $x_\infty(V)$ para $x = m, h, n$ y s , evaluadas en los potenciales iniciales.

La figura [1] ilustra los potenciales de membrana V_1 y V_2 de ambas neuronas a lo largo del tiempo con $g_{syn} = 1$. Se observan spikes periódicos en ambas neuronas, sugiriendo una interacción entre ellas. Una vez atravesada una fase transitoria, estas señales presentan una periodicidad similar, indicando una sincronización. Además, las interacciones excitatorias muestran un comportamiento en fase, mientras que las inhibitorias se comportan en contrafase.

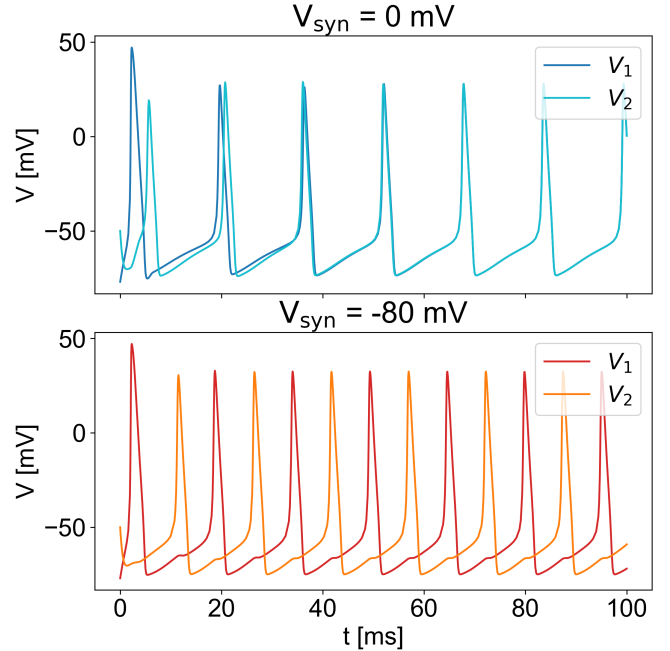


Figura 1: Potenciales de membrana V_1 y V_2 de ambas neuronas en función del tiempo t para $g_{syn} = 1$ y dos valores distintos de V_{syn} .

Al variar g_{syn} , se observan cambios en la dinámica neuronal. La figura (2) muestra cómo los potenciales varían en el tiempo para diferentes valores de g_{syn} , destacando un cambio en la frecuencia de los spikes con este parámetro.

Para describir cuantitativamente los efectos anteriores, se determinó numéricamente la tasa de disparo y el desfase entre las neuronas. La tasa de disparo se define como el número de spikes por unidad de tiempo. Mientras que el desfase se define como la diferencia temporal

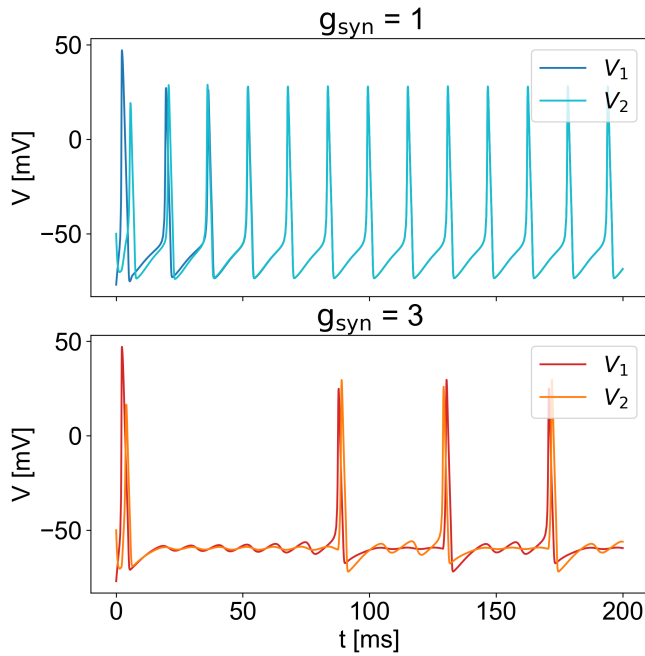


Figura 2: Potenciales de membrana V_1 y V_2 de ambas neuronas en función del tiempo t para $V_{syn} = 0$ y dos valores distintos de g_{syn} .

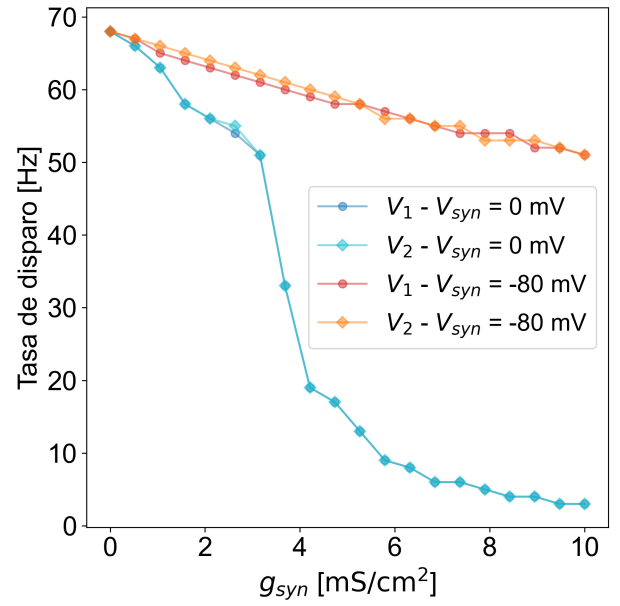
entre los picos de ambos potenciales, normalizada por el período del sistema (inverso de la tasa de disparo). Estos cálculos se realizaron en el estado estacionario, después de haber superado la fase transitoria. Todos estos resultados se presentan en la figura (3).

En cuanto a la tasa de disparo, esta disminuye al aumentar g_{syn} y además disminuye más rápido con una interacción es excitatoria. Aunque intuitivamente se esperaría un aumento en la tasa con una mayor interacción, esto no sucede. Una posible explicación es que la corriente de interacción no es constante como I_{ext} y solo actúa en momentos específicos.

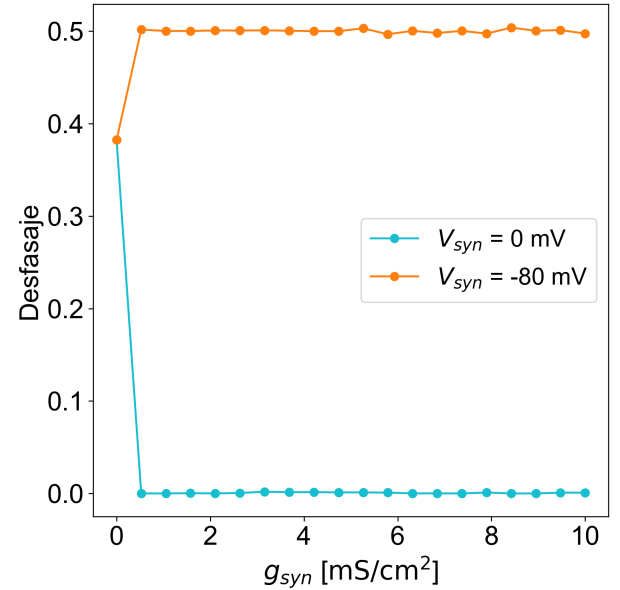
En cuanto al desfase, con $g_{syn} = 0$, se observa un desfase distinto entre las neuronas, lo cual está ligado a la falta de interacción. Sin embargo, para $g_{syn} \neq 0$ el desfase parece ser independiente del parámetro, pero totalmente determinado por el tipo de interacción. En interacciones excitatorias, el desfase es nulo (comportamiento en fase), mientras que en interacciones inhibitorias, el desfase es de 0.5, lo que indica un comportamiento en contrafase.

II. EJERCICIO 2

Se analizó un sistema compuesto por dos grupos de neuronas: excitatorias e inhibitorias, utilizando el modelo de tasa de disparo (Fire Rate Model). Además, se estableció una relación semilineal entre la frecuencia de disparo y la corriente. Las ecuaciones que describen la dinámica de este sistema son las siguientes



(a)



(b)

Figura 3: 3.a Tasa de disparo de ambas neuronas y 3.b desfase entre neuronas para $V_{syn} = 0$ y $V_{syn} = -80$ mV.

$$\begin{cases} \tau \frac{dh_e}{dt} = -h_e + g_{ee}f_e - g_{ei}f_i + I_e \\ \tau \frac{dh_i}{dt} = -h_i + g_{ie}f_e - g_{ii}f_i + I_i, \end{cases}$$

donde f_e y f_i representan las tasas de disparo, las cuales están relacionadas con el potencial a través de la función semilineal $f_\alpha = f_\alpha(h_\alpha) = h_\alpha \Theta(\alpha)$, con $\Theta(x)$ función de Heaviside. Además, $g_{\alpha\beta}$ indica el peso de acoplamiento entre la población α y la población β . Si el acoplamiento

se dirige a la población de neuronas excitatorias (e), el peso es positivo. Mientras que si se dirige a la población de neuronas inhibitorias (i), es negativo.

A continuación se estudiará si existe una solución en el estado estacionario en la que ambas poblaciones neuronales muestren actividad distinta de cero y si tal solución es estable.

Para que ambas poblaciones estén activas, las tasas de disparo f_e y f_i deben ser mayores que cero. Debido a la relación semilineal con los potenciales, esto implica que h_e y h_i también deben ser positivos. En estado estacionario, se presentan dos escenarios:

1. Los potenciales son constantes en el tiempo, lo cual lleva a las ecuaciones:

$$\begin{cases} -h_e + g_{ee}f_e - g_{ei}f_i + I_e = 0 \\ -h_i + g_{ie}f_e - g_{ii}f_i + I_i = 0. \end{cases}$$

2. Los potenciales cambian en el tiempo, pero con un comportamiento periódico. En tal caso, es posible integrar las ecuaciones de la dinámica en un período y arribar a las mismas ecuaciones anteriores.

Incorporando la relación entre la tasa de disparo y el potencial y teniendo en cuenta los signos de los pesos, tales ecuaciones se traducen en el sistema algebraico lineal:

$$A \begin{pmatrix} h_e \\ h_i \end{pmatrix} = - \begin{pmatrix} I_e \\ I_i \end{pmatrix},$$

donde la matriz A se define como

$$A = \begin{pmatrix} |g_{ee}| - 1 & |g_{ei}| \\ |g_{ie}| & |g_{ii}| - 1 \end{pmatrix}.$$

De aquí, se puede deducir

$$\begin{pmatrix} h_e \\ h_i \end{pmatrix} = -A^{-1} \begin{pmatrix} I_e \\ I_i \end{pmatrix},$$

con A^{-1} siendo

$$A^{-1} = \frac{1}{D} \begin{pmatrix} |g_{ii}| - 1 & -|g_{ei}| \\ -|g_{ie}| & |g_{ee}| - 1 \end{pmatrix}$$

y D es el determinante de A dado por

$$D = (|g_{ee}| - 1)(|g_{ii}| - 1) - |g_{ie}||g_{ei}|.$$

En base a lo anterior, para garantizar actividad neuronal es necesario que se cumplan las condiciones:

$$-\frac{1}{D}[I_e(|g_{ii}| - 1) - I_i|g_{ei}|] > 0$$

$$-\frac{1}{D}[-I_e|g_{ie}| + I_i(|g_{ee}| - 1)] > 0.$$

Por otro lado, la estabilidad de esta solución requiere que la matriz jacobiana del sistema tenga una traza T negativa y un determinante positivo. Esta matriz coincide con τA , estableciendo las condiciones

$$T = |g_{ee}| + |g_{ii}| - 2 < 0$$

$$D = (|g_{ee}| - 1)(|g_{ii}| - 1) - |g_{ie}||g_{ei}| > 0$$

III. APÉNDICE

A continuación se desarrolla el código utilizado en el ejercicio 1 para resolver el sistema de ecuaciones diferenciales acopladas. Este código está implementado en Python

```

1      # Pr ctica 2 - ejercicio 1
2
3
4      # date: 09/09/2023
5      # File: Chehade_practica2.py
6      # Author : Pablo Naim Chehade
7      # Email: pablo.chehade.villalba@gmail.com
8      # GitHub: https://github.com/Lupama2
9
10     #Import libraries
11     import numpy as np
12     import matplotlib
13     import matplotlib.pyplot as plt
14     from scipy.integrate import solve_ivp
15     from scipy.signal import find_peaks

```

```

16
17 #Hago los graficos interactivos
18 # %matplotlib ipympl
19
20 #Fuente y tama o de los caracteres en los graficos
21 font = {'family' : 'Arial',
22         'weight' : 'normal',
23         'size' : 20}
24 matplotlib.rc('font', **font)
25
26 #####
27 # PARAMETROS ESTANDAR DEL SISTEMA
28 #####
29
30 C_hat = 1 #[mS]
31 g_K_adim = 36
32 g_Na_adim = 120
33 g_L_adim = 0.3
34
35 V_K = -77 #[mV]
36 V_Na = 50 #[mV]
37 V_L = -54.4 #[mV]
38
39 #####
40 # FUNCIONES
41 #####
42
43
44 def m_inf(V):
45     a_m = 0.1*(V + 40)/(1 - np.exp(-(V + 40)/10))
46     b_m = 4*np.exp(-(V + 65)/18)
47     return a_m/(a_m + b_m)
48
49 def h_inf(V):
50     a_h = 0.07*np.exp(-(V + 65)/20)
51     b_h = 1/(1 + np.exp(-(V + 35)/10))
52     return a_h/(a_h + b_h)
53
54 def n_inf(V):
55     a_n = 0.01*(V + 55)/(1 - np.exp(-(V + 55)/10))
56     b_n = 0.125*np.exp(-(V + 65)/80)
57     return a_n/(a_n + b_n)
58
59 def s_inf(V):
60     return 0.5*(1 + np.tanh(V/5))
61
62 def tau_m(V):
63     a_m = 0.1*(V + 40)/(1 - np.exp(-(V + 40)/10))
64     b_m = 4*np.exp(-(V + 65)/18)
65     return 1/(a_m + b_m)
66
67 def tau_h(V):
68     a_h = 0.07*np.exp(-(V + 65)/20)
69     b_h = 1/(1 + np.exp(-(V + 35)/10))
70     return 1/(a_h + b_h)
71
72 def tau_n(V):
73     a_n = 0.01*(V + 55)/(1 - np.exp(-(V + 55)/10))
74     b_n = 0.125*np.exp(-(V + 65)/80)
75     return 1/(a_n + b_n)
76
77 def tau_s(V):
78     return 3
79

```

```

80 def I_syn(V, s, g_syn, V_syn):
81     return - g_syn*s*(V - V_syn)
82
83 def tasa_de_disparo(V_signal, t_fin, t_ini):
84     '''
85     Calcula la tasa de disparo de V
86     '''
87     peaks, _ = find_peaks(V_signal, height = 0)
88
89     #Calculo la tasa de disparo
90     tasa = len(peaks)/(t_fin - t_ini)
91     return tasa
92
93 def desfasaje(t_signal, V1_signal, V2_signal):
94     '''
95     Calcula el desfasaje entre V1 y V2
96     '''
97     peaks1, _ = find_peaks(V1_signal, height = 0)
98     peaks2, _ = find_peaks(V2_signal, height = 0)
99
100     #Determino que picos son consecutivos entre si. Este criterio puedo aplicarlo porque
101     #ya conozco como se comporta el problema
102     #Determino el primero de los picos
103     if peaks1[0] < peaks2[0]:
104         #Determino que pico tiene peaks2[0] mas cerca
105         if abs(peaks1[0] - peaks2[0]) < abs(peaks1[1] - peaks2[0]):
106             peaks1 = peaks1[0:]
107         else:
108             peaks1 = peaks1[1:]
109     else:
110         #Determino que pico tiene peaks1[0] mas cerca
111         if abs(peaks1[0] - peaks2[0]) < abs(peaks1[0] - peaks2[1]):
112             peaks2 = peaks2[0:]
113         else:
114             peaks2 = peaks2[1:]
115
116     #Calculo el desfasaje como promedio de desfasajes entre picos consecutivos
117
118     desfasajes = np.empty(min(len(peaks1), len(peaks2)))
119     for i in range(len(desfasajes)):
120         desfasajes[i] = t_signal[peaks1[i]] - t_signal[peaks2[i]]
121
122     return np.mean(desfasajes)
123
124 def any_vs_g_syn(V_syn, g_syn):
125     #Resuelvo sistema de ecuaciones
126     t_ini = 0
127     t_fin = 2000 #[ms]
128
129     I_ext = 10
130
131     soln = solve_ivp(derivada, [t_ini, t_fin], y0, method = "RK45", args = (I_ext, g_syn,
132     V_syn), dense_output = True)
133
134     #Verifico que se halla resuelto el problema
135     if soln.success != True:
136         raise ValueError(soln.message)
137
138     #Restrinjo los valores desde que hay un pico en el estacionario
139     t_ini_new = t_fin/2
140     t_ini_new_ind = np.where(soln.t >= t_ini_new)[0][0]
141     #Comienzo a medir desde el primer pico luego de t_ini_new
142     peaks_V1, _ = find_peaks(soln.y[0, t_ini_new_ind:], height = 0)
143     peaks_V2, _ = find_peaks(soln.y[5, t_ini_new_ind:], height = 0)

```

```

142     t_ini_new_ind + np.min([peaks_V1[0], peaks_V2[0]])
143     t_ini_new = soln.t[t_ini_new_ind]
144
145     #Calculo la tasa de disparo
146     tasa_V1 = tasa_de_disparo(soln.y[0,t_ini_new_ind:], t_fin, t_ini_new)
147     tasa_V2 = tasa_de_disparo(soln.y[5,t_ini_new_ind:], t_fin, t_ini_new)
148
149     #Calculo el desfasaje
150     desfasaje_V1_V2 = desfasaje(soln.t[t_ini_new_ind:], soln.y[0,t_ini_new_ind:], soln.y
151                                 [5,t_ini_new_ind:])
152
153     return tasa_V1, tasa_V2, desfasaje_V1_V2
154
155     #####
156     # ECUACIONES DIFERENCIALES
157     #####
158
159     def derivada(t, y, I_ext, g_syn, V_syn):
160         '''
161         C_hat = C / g_hat : [ms = mili segundos]
162         I_ext : [muA/cm2]
163         V: [mV]
164         Derivada
165         y[0]: V1
166         y[1]: m1
167         y[2]: h1
168         y[3]: n1
169         y[4]: s1
170         y[5]: V2
171         y[6]: m2
172         y[7]: h2
173         y[8]: n2
174         y[9]: s2
175         '''
176
177         #Def derivative vector
178         dydt = np.empty(10)
179         N_eq = 5 #ec. por neurona
180
181         #Asigno variables
182         V1 = y[0]; m1 = y[1]; h1 = y[2]; n1 = y[3]; s1 = y[4]
183         V2 = y[5]; m2 = y[6]; h2 = y[7]; n2 = y[8]; s2 = y[9]
184
185         #Eq of charge conservation
186         dydt[0] = (1/C_hat) * (I_ext + I_syn(V1, s1, g_syn, V_syn) - g_K_adim*n1**4*(V1 - V_K)
187                             - g_Na_adim*m1**3*h1*(V1 - V_Na) - g_L_adim*(V1 - V_L))
188
189         dydt[0 + N_eq] = (1/C_hat) * (I_ext + I_syn(V2, s2, g_syn, V_syn) - g_K_adim*n2**4*(V2
190                             - V_K) - g_Na_adim*m2**3*h2*(V2 - V_Na) - g_L_adim*(V2 - V_L))
191
192         #Eq's m, h, n
193         dydt[1] = (m_inf(V1) - m1)/tau_m(V1)
194         dydt[2] = (h_inf(V1) - h1)/tau_h(V1)
195         dydt[3] = (n_inf(V1) - n1)/tau_n(V1)
196         dydt[4] = (s_inf(V2) - s1)/tau_s(V1)
197
198         dydt[1 + N_eq] = (m_inf(V2) - m2)/tau_m(V2)
199         dydt[2 + N_eq] = (h_inf(V2) - h2)/tau_h(V2)
200         dydt[3 + N_eq] = (n_inf(V2) - n2)/tau_n(V2)
201         dydt[4 + N_eq] = (s_inf(V1) - s2)/tau_s(V2)
202
203         return dydt
204
205     #####

```

```

203 # CONDICIONES INICIALES
204 #####
205
206 V0_1 = -77
207 V0_2 = -50
208
209 y0_1_vec = np.array([V0_1, m_inf(V0_1), h_inf(V0_1), n_inf(V0_1), s_inf(V0_1)])
210 y0_2_vec = np.array([V0_2, m_inf(V0_2), h_inf(V0_2), n_inf(V0_2), s_inf(V0_2)])
211
212 y0 = np.concatenate((y0_1_vec, y0_2_vec))
213
214 #####
215 # V1 y V2 vs V_syn
216 #####
217
218 #Grafico para ambos V_syn
219
220 t_ini = 0
221 t_fin = 100 #[ms]
222
223 I_ext = 10
224 g_syn = 1#0.5#2.564102564102564#1
225 V_syn_1 = 0
226 V_syn_2 = -80
227
228 soln_1 = solve_ivp(derivada, [t_ini, t_fin], y0, method = "RK45", args = (I_ext,g_syn,
229     V_syn_1), dense_output = True)
230
231 soln_2 = solve_ivp(derivada, [t_ini, t_fin], y0, method = "RK45", args = (I_ext,g_syn,
232     V_syn_2), dense_output = True)
233
234
235 #Verifico que se halla resuelto el problema
236 if soln_1.success != True or soln_2.success != True:
237     raise ValueError(soln_1.message)
238
239
240 #Grafico
241 fig, ax = plt.subplots(2,1, sharex=True, figsize = (8,8))
242 #Junto mas los subplots
243 fig.subplots_adjust(hspace=0.15)
244
245 ax[0].plot(soln_1.t, soln_1.y[0,:], label = "$V_1$", color = "tab:blue")
246 ax[0].plot(soln_1.t, soln_1.y[5,:], label = "$V_2$", color = "tab:cyan")
247 ax[0].set_title("$\mathrm{V}_{\mathrm{syn}}$ = 0 mV")
248 # ax[0].set_xlabel("t [ms]")
249 ax[0].set_ylabel("$V$ [mV]")
250 ax[0].legend(fontsize = 18, loc = "upper_right")
251
252 ax[1].plot(soln_2.t, soln_2.y[0,:], label = "$V_1$", color = "tab:red")
253 ax[1].plot(soln_2.t, soln_2.y[5,:], label = "$V_2$", color = "tab:orange")
254 ax[1].set_title("$\mathrm{V}_{\mathrm{syn}}$ = -80 mV")
255 ax[1].set_xlabel("$t$ [ms]")
256 ax[1].set_ylabel("$V$ [mV]")
257 ax[1].legend(fontsize = 18, loc = "upper_right")
258
259 plt.show()
260
261 #Guardo imagen
262 # fig.savefig("Informe/ej1_potenciales_vs_Vsyn.png", dpi = 300, bbox_inches = "tight")
263
264 #####
265 # V1 y V2 vs g_syn
266 #####
267
268 #Grafico para dos alores de g_syn

```

```

265 t_ini = 0
266 t_fin = 200 #[ms]
267
268 I_ext = 10
269 g_syn_1 = 1 #0.5#2.564102564102564#1
270 g_syn_2 = 4
271 V_syn = 0
272
273 soln_1 = solve_ivp(derivada, [t_ini, t_fin], y0, method = "RK45", args = (I_ext, g_syn_1,
    V_syn), dense_output = True)
274 soln_2 = solve_ivp(derivada, [t_ini, t_fin], y0, method = "RK45", args = (I_ext, g_syn_2,
    V_syn), dense_output = True)
275
276 #Verifico que se halla resuelto el problema
277 if soln_1.success != True or soln_2.success != True:
278     raise ValueError(soln_1.message)
279
280 #Grafico
281 fig, ax = plt.subplots(2,1, sharex=True, figsize = (8,8))
282 #Junto mas los subplots
283 fig.subplots_adjust(hspace=0.15)
284
285 ax[0].plot(soln_1.t, soln_1.y[0,:], label = "$V_1$", color = "tab:blue")
286 ax[0].plot(soln_1.t, soln_1.y[5,:], label = "$V_2$", color = "tab:cyan")
287 ax[0].set_title("$\mathrm{g}_{\mathrm{syn}}$")
288 # ax[0].set_xlabel("t [ms]")
289 ax[0].set_ylabel("$V$ [mV]")
290 ax[0].legend(fontsize = 18, loc = "upper_right")
291
292 ax[1].plot(soln_2.t, soln_2.y[0,:], label = "$V_1$", color = "tab:red")
293 ax[1].plot(soln_2.t, soln_2.y[5,:], label = "$V_2$", color = "tab:orange")
294 ax[1].set_title("$\mathrm{g}_{\mathrm{syn}}$")
295 ax[1].set_xlabel("t [ms]")
296 ax[1].set_ylabel("$V$ [mV]")
297 ax[1].legend(fontsize = 18, loc = "upper_right")
298
299 plt.show()
300
301 #Guardo imagen
302 # fig.savefig("Informe/ej1_potenciales_vs_gsyn.png", dpi = 300, bbox_inches = "tight")
303
304 #####
305 # TASA DE DISPARO y DESFASAJE vs g_syn
306 #####
307 V_syn = 0
308
309 N = 20
310 g_syn_vec = np.linspace(0,10, num = N)
311
312 any_vs_g_syn_vec = np.empty([N, 3])
313
314 for i in range(N):
315     print("Calculo:", i+1, "de", N)
316     any_vs_g_syn_vec[i] = any_vs_g_syn(V_syn, g_syn_vec[i])
317
318 #Guardo datos como .npv
319 data_1 = np.vstack([g_syn_vec, any_vs_g_syn_vec.T])
320 # file_name = f"data_V_syn_{V_syn:.2f}.npv"
321 # np.save(file_name, data)
322
323 V_syn = -80
324
325 N = 20
326 g_syn_vec = np.linspace(0,10, num = N)

```



```

327 any_vs_g_syn_vec = np.empty([N, 3])
328
329
330 for i in range(N):
331     print("Calculo:", i+1, "de", N)
332     any_vs_g_syn_vec[i] = any_vs_g_syn(V_syn, g_syn_vec[i])
333
334 #Guardo datos como .numpy
335 data_2 = np.vstack([g_syn_vec, any_vs_g_syn_vec.T])
336 # file_name = f"data_V_syn_{V_syn:.2f}.numpy"
337 # np.save(file_name, data)
338
339
340 #Cargo datos
341 # data_1 = np.load("data_V_syn_0.00.npy")
342 # data_2 = np.load("data_V_syn_-80.00.npy")
343
344 #Desempaquete y grafico
345 g_syn_vec_1, any_vs_g_syn_vec_1 = data_1[0], data_1[1:].T
346 g_syn_vec_2, any_vs_g_syn_vec_2 = data_2[0], data_2[1:].T
347
348 factor_ms_to_s = 1000
349
350 fig, ax = plt.subplots(1,1, figsize = (7,7))
351
352 ax.plot(g_syn_vec_1, any_vs_g_syn_vec_1[:,0]*factor_ms_to_s, "o-", label = r"$V_1$-$V_{\text{syn}}$-$0\text{mV}$", alpha = 0.5, color = "tab:blue")
353 ax.plot(g_syn_vec_1, any_vs_g_syn_vec_1[:,1]*factor_ms_to_s, "D-", label = r"$V_2$-$V_{\text{syn}}$-$0\text{mV}$", alpha = 0.5, color = "tab:cyan")
354 ax.plot(g_syn_vec_1, any_vs_g_syn_vec_2[:,0]*factor_ms_to_s, "o-", label = r"$V_1$-$V_{\text{syn}}$-$80\text{mV}$", alpha = 0.5, color = "tab:red")
355 ax.plot(g_syn_vec_1, any_vs_g_syn_vec_2[:,1]*factor_ms_to_s, "D-", label = r"$V_2$-$V_{\text{syn}}$-$80\text{mV}$", alpha = 0.5, color = "tab:orange")
356
357 ax.set_xlabel("$g_{\text{syn}}$[$\text{mS}/\text{cm}^2$]")
358 ax.set_ylabel("Tasa de disparo [Hz]")
359 #Ubico leyenda abajo a la izquierda
360 #Cambio el tama o de la leyenda
361 ax.legend(fontsize = 18)
362 plt.show()
363
364 #Guardo imagen
365 fig.savefig("Informe/ej1_tasa.png", dpi = 300, bbox_inches = "tight")
366
367 fig, ax = plt.subplots(1,1, figsize = (7,7))
368
369 tasa_de_disparo_mean_1 = (any_vs_g_syn_vec_1[:,0] + any_vs_g_syn_vec_1[:,1])/2
370 tasa_de_disparo_mean_2 = (any_vs_g_syn_vec_2[:,0] + any_vs_g_syn_vec_2[:,1])/2
371
372 ax.plot(g_syn_vec_1, np.abs(any_vs_g_syn_vec_1[:,2])*tasa_de_disparo_mean_1, "o-", label = "$V_{\text{syn}}$-$0\text{mV}$", color = "tab:cyan")
373 ax.plot(g_syn_vec_2, np.abs(any_vs_g_syn_vec_2[:,2])*tasa_de_disparo_mean_2, "o-", label = "$V_{\text{syn}}$-$80\text{mV}$", color = "tab:orange")
374
375 ax.set_xlabel("$g_{\text{syn}}$[$\text{mS}/\text{cm}^2$]")
376 ax.set_ylabel("Desfasaje")
377 ax.legend(fontsize = 18)
378 plt.show()
379
380 #Guardo imagen
381 # fig.savefig("Informe/ej1_desfasaje.png", dpi = 300, bbox_inches = "tight")

```